

01:05

ДИЛАТАЦИОННЫЕ ОБЪЕМЫ ТОЧЕЧНЫХ КИСЛОРОДНЫХ ДЕФЕКТОВ БАЗОВОЙ ПЛОСКОСТИ ПЕРОВСКИТНЫХ СТРУКТУР

© Н.Н.Дегтяренко, В.Ф.Елесин

Московский инженерно-физический институт,
115409 Москва, Россия

(Поступило в Редакцию 13 января 1995 г.

В окончательной редакции 22 сентября 1995 г.)

Рассчитаны дилатационные объемы основных дефектов кислородной подсистемы соединения $\text{YBa}_2\text{Cu}_3\text{O}_{7-x}$ методом молекулярной динамики, основное внимание уделено знаку дилатационного объема. Подобные расчеты структуры дефектов и релаксации кристаллической решетки $\text{YBa}_2\text{Cu}_3\text{O}_{7-x}$ с учетом динамической поляризуемости ионов и возможного изменения зарядового состояния ближайших к дефекту ионов проведены впервые. Показано, что дилатационный объем кислородной вакансии в $\text{YBa}_2\text{Cu}_3\text{O}_{7-x}$ (положение O(4)) имеет положительный знак и величину порядка нескольких \AA^3 (с учетом изменения зарядового состояния ближайших ионов меди). Проведено сравнение с экспериментальными данными.

Введение

Широкий спектр соединений с ионным типом связи представляет интерес для современной радиационной физики твердого тела. К ним относятся реакторные материалы типа UO_2 , а также ВТСП керамики с перовскитной структурой. Считается общепризнанным, что основные дефекты ВТСП связаны с кислородной подсистемой. В настоящее время уделяется большое внимание определению характеристик точечных дефектов ВТСП, таких как энергия образования E_f и миграции E_m дефекта. Не менее важной характеристикой является дилатационный объем дефекта, он определяет радиационное распухание и связан с другими характеристиками точечных дефектов. Его определение может дать ключ к пониманию механизма релаксации атомного окружения при образовании дефектов в этих соединениях.

Важность этой характеристики дефектов следует и из работы [1], где показано, что дилатационный объем дефектов входит в выражение для тока в кинетическом уравнении для концентрации дефектов и является одним из параметров, определяющим условия неустойчивости однородного распределения дефектов относительно неоднородных

возмущений. В связи с вышеизложенным представляет интерес теоретическое определение дилатационного объема дефектов ВТСП.

Цель данной работы — рассчитать дилатационные объемы основных дефектов кислородной подсистемы соединения $\text{YBa}_2\text{Cu}_3\text{O}_{7-x}$ методом молекулярной динамики, обращая основное внимание не знак дилатационного объема. Несколько нам известно, такие расчеты структуры дефектов и релаксации кристаллической решетки $\text{YBa}_2\text{Cu}_3\text{O}_{7-x}$ с учетом динамической поляризуемости ионов и возможного изменения зарядового состояния ближайших к дефекту ионов проведены впервые.

В настоящее время существует довольно обширный спектр работ по компьютерному моделированию дефектов кристаллической решетки в различных веществах. Компьютерные расчеты и эксперимент дают следующий результат: вакансия в металлах всегда имеет отрицательный и небольшой по величине дилатационный объем, а собственные междуузлия — положительный, по порядку величины $\sim \Omega^{[2-4]}$ (Ω — атомный объем). В работах ^[5,6] методом молекулярной динамики исследовались междуузельные атомы в решетке графита с использованием трехчастичного потенциала, учитывающего слабое взаимодействие между слоями графита. Дилатационный объем оказался необычайно большим $\sim 3-6\Omega$, что хорошо согласуется с данными по увеличению размеров кристалла графита вдоль оси с под действием облучения ^[7] ($\Delta c/c_0 = 3.4 \cdot N_i$, где N_i — концентрация междуузлий). С помощью молекулярной динамики рассчитывались параметры основных точечных дефектов в упорядочивающихся сплавах на примере Nb_3Sn структурой A_{15} ^[8,9]. Таковыми являются вакансии, междуузлия и дефекты типа замещения — “антисайты”. Расчетные значения дилатационного объема для вакансий оказались отрицательными и небольшими по величине ($\sim 0.1\Omega$), для “антисайдов” — положительны и примерно в три раза больше. Последний результат соответствует тому факту, что под облучением в Nb_3Sn образуются в основном дефекты замещения и скорость распухания этого соединения выше, чем у металлов.

Отметим также, что в работе ^[10] моделировался кристалл $\text{YBa}_2\text{Cu}_3\text{O}_{7-x}$ для $x = 0$ и 0.5 , в последнем случае структура была упорядоченной с чередованием заполненных и пустых цепочек. Из сравнения вычисленных параметров решетки для двух этих случаев получается дилатационный объем вакансии, равный 3.6 \AA^3 или 0.2Ω . Однако следует отметить, что этот результат получен для упорядоченной вакансационной структуры при их достаточно высокой концентрации, а не для одиночной вакансии.

Постановка задачи и выбор потенциала взаимодействия

В силу значительной степени ионности связи в соединении $\text{YBa}_2\text{Cu}_3\text{O}_7$, вызванные дефектами искажения решетки, могут иметь существенные особенности. Рассмотрим образование вакансий в подсистеме кислорода. При образовании в базовой плоскости в положении $\text{O}(4)$ кислородной вакансии происходит удаление отрицательно заряженного иона кислорода, что эквивалентно созданию в этой области нескомпенсированного положительного заряда. В результате должно возрастать эффективное отталкивание двух положительно заряженных ионов меди, ранее разделенных ионом кислорода. Эта закономерность общеизвестна и справедлива для ближайшего окружения.

Параметры структуры $\text{YBa}_2\text{Cu}_3\text{O}_{7-x}$, использованные в данной работе, а также обозначения различных типов узлов ячейки соответствуют [11]. При выборе потенциала взаимодействия атомов, составляющих моделируемое вещество, как правило, требуют, чтобы модельный кристаллит обладал набором некоторых характеристик, подобных реальному кристаллу. В качестве таких характеристик выбирают межатомное расстояние в кристалле, некоторые из упругих констант (C_{11}, C_{12}, C_{44}), энергию образования вещества, энергетические характеристики дефектов, высокочастотную и низкочастотную диэлектрические постоянные $\epsilon_0, \epsilon_\infty$, а также поперечную оптическую частоту. Было предложено несколько межатомных потенциалов для $\text{YBa}_2\text{Cu}_3\text{O}_{7-x}$. Эти потенциалы состоят из кулоновского взаимодействия между ионами и короткодействующей части, основой которой является потенциал Борна–Майера, соответствующий отталкивательному взаимодействию между оболочками. Уэлч предложил [12] потенциал, содержащий кулоновскую часть, борн–майеровскую часть и взаимодействие Ван–Дер–Ваальса, описывающее притяжение статических диполей. Вычисленные с помощью этого потенциала решеточные параметры имеют расхождение с экспериментальными данными не более, чем на 0.02 \AA . Полученный модуль объемного сжатия $B = 190 \text{ ГПа}$ и упругие константы $C_{11} = 328 \text{ ГПа}, C_{22} = 349 \text{ ГПа}, C_{33} = 316 \text{ ГПа}$ также хорошо согласуются с экспериментом. В работе [13] методом молекулярной динамики изучались фоновые спектры $\text{YBa}_2\text{Cu}_3\text{O}_{7-x}$, а также устойчивость различных положений атомов кислорода при 1300 К в условиях термического расширения. Этот потенциал дает минимум потенциальной энергии при соответствующих параметрах решетки, а также разумное значение модуля объемного сжатия $B = 109 \text{ ГПа}$.

Наши расчеты базируются на потенциале, полученном Ботзольдом [10, 14]. Этот выбор обусловлен тем, что потенциалы Ботзольда не только обеспечивают минимум потенциальной энергии кристалла и дают разумные значения упругих констант и модуля объемного сжатия, но также успешно использовался для расчета энергетических характеристик дефектов. Сравнение различных потенциалов в рамках задачи о пороговой энергии выбивания атомов кислорода проведено в [15].

Большинство ранних исследований проводилось в рамках модели жестких ионов. Это относится к большинству работ, основанных на методе молекулярной статики, и на методе молекулярной динамики. В данной работе впервые предпринята попытка учесть динамическую поляризуемость ионов в молекулярно-динамическом методе исследования ВТСП. Ранее учет динамической поляризуемости ионов в рамках оболочечной модели Лика и Оберхаузера довольно успешно применялся в методах молекулярной статики. Согласно оболочечной модели Лика и Оберхаузера, ион, имеющий интегральный заряд Z , представляется в виде ядра с зарядом Q и оболочки с зарядом Y . Ядро и оболочка связаны между собой упругой силой жесткостью k . Масса иона сосредоточена в ядре, оболочка считается невесомой. Заряды Q и Y не следует понимать в буквальном смысле. Это некоторые феноменологические параметры, которые в совокупности с параметрами короткодействующего потенциала, получаются из подгонки к экспериментальным значениям некоторых постоянных. Физически оболочечная модель отражает тот факт, что в реальных ионах электрическое

поле других ионов вызывает смещение центра отрицательного заряда относительно центра положительного заряда и ион становится поляризованным. Учет поляризации для определения структуры дефектов представляется важным.

Методика вычисления дилатационного объема и основные результаты

В данной работе оценка дилатационного объема дефектов проводилась следующим образом. Для кристаллита $\text{YBa}_2\text{Cu}_3\text{O}_{7-x}$ без дефекта, содержащего $5 \times 5 \times 5$ ячеек (≈ 1600 атомов), на первом этапе рассчитывались равновесные положения атомов внутренней области $3 \times 3 \times 3$ методом молекулярной динамики при статическом положении атомов во внешних ячейках. Затем определялись равновесные размеры внешней области, соответствующие минимуму потенциальной энергии кристаллита, и процесс релаксации повторялся для новых размеров. В качестве метода минимизации потенциальной энергии кристаллита по его размерам был использован метод симплекса. После трех-четырех итераций процесс сходился и определялись равновесные положения всех атомов и размеры кристаллита, соответствующие минимуму энергии. Аналогичные расчеты проводились для кристаллита с дефектом. Полученное при этом изменение объема счетного кристаллита, содержащего дефект, в сравнении с объемом бездефектного дает оценку исключенной величины дилатационного объема.

Результаты расчетов приведены в таблице. Из приведенных значений параметров решетки кристаллита без дефекта, полученных после процесса релаксации и определения минимума потенциальной энергии, следует хорошее совпадение с экспериментальными данными.

Расчет характеристик образования дефекта типа разупорядочения (переход иона кислорода из позиции $\text{O}(4)$ в $\text{O}(5)$) проводился без изменения зарядового состояния перемещаемых ионов, поскольку квазинейтральность кристаллита как целого в этом случае не нарушается. Был получен дилатационный объем, равный 7.8 \AA^3 .

Для рассмотрения дефектов типа вакансий на кислородной подсистеме и межузельного атома кислорода приходилось делать априорные предположения о перераспределении зарядов между ионами.

Без учета перераспределения зарядов получен дилатационный объем кислородной вакансии, в положении $\text{O}(4)$ положительный и равный $+30.8 \text{ \AA}^3$, что более чем на порядок превосходит экспериментальные данные (см. ниже). По-видимому, данный дефект нельзя рассматривать без учета необходимости сохранения электронейтральности кристаллита и соответствующего изменения зарядового состояния ионов. В соответствии с этим было введено одинаковое изменение зарядового состояния двух ближайших к образующейся кислородной вакансии $\text{O}(4)$ ионов $\text{Cu}(1)$ (с Cu^{+2} до $\text{Cu}^{+1.1}$). Такая постановка задачи соответствует удалению из кристаллита не иона, а нейтрального атома кислорода. Вычисленное значение дилатационного объема кислородной вакансии в положении $\text{O}(4)$ с таким перераспределением зарядов равно $+4.5 \text{ \AA}^3$.

Дилатационного объема дефектов базовой плоскости $\text{YBa}_2\text{Cu}_3\text{O}_7$

Вариант	Начальные значения параметров		После нескольких (3–5) итерационных процедур (минимизация–релаксация)		Релаксационный объем $\delta V [\text{\AA}^3]$ расчет	Релаксационный объем $\delta V [\text{\AA}^3]$ эксперимент
	Решетка $a, b, c, [\text{\AA}]$	Потенциальная энергия $E_{\text{pot}}, \text{eV}$	Решетка $a, b, c, [\text{\AA}]$	Потенциальная энергия $E_{\text{pot}}, \text{eV}$		
Идеальный кристалл	3.771477	–7031.7	3.777840	–7036.26	–	–
	3.874269		3.876176			
	11.69022		11.59720			
Вакансия O4	3.771936	–7002.3	3.775980	–7008.7	33	2
	3.876880		3.875574			
	11.61290		11.68593			
Вакансия O4 измен. z Cu	3.771936	–6977.1	3.76789	–6983.8	8.5	1.3
	3.876880		3.88569			
	11.61290		11.59853			
Перестановка O4-O5	3.771936	–7028.0	3.77494	–7035.1	12	–
	3.876880		3.87778			
	11.61290		11.61063			
Дополнительный O5	3.771936	–7048.0	3.78445	–7056.9	–7	–
	3.876880		3.87000			
	11.61290		11.5552			

Сравнение с экспериментом и заключение

Обратимся теперь к анализу экспериментальных данных по увеличению параметров решетки и изменению заселенности позиций O(4) и O(5) при облучении быстрыми нейтронами при температуре жидкого азота образцов $\text{ErBa}_2\text{Cu}_3\text{O}_{6.95}$ и $\text{ErBa}_2\text{Cu}_3\text{O}_{6.18}$ [16]. В первом образце происходило разупорядочение кислорода между позициями O(4) и O(5) в базовой плоскости, во втором этого не происходило, так как он являлся исходно разупорядоченным. На рис. 1 показан график зависимости параметра беспорядка $r = N(\text{O}5)/(N(\text{O}4) + N(\text{O}5))$ от флюенса нейтронов, где N — заселенность соответствующей позиции. Из сравнения данных для этих двух образцов нами был оценен дилатационный объем на один дефект типа разупорядочения (переход кислорода из позиции O(4) в O(5)) на одну элементарную ячейку, который составил $+1.3 \text{ \AA}^3$ или $+0.1 \Omega$ ($\Omega = 13.5 \text{ \AA}^3$) (рис. 2).

В работах [17, 18] проводилось измерение параметров решетки $\text{YBa}_2\text{Cu}_3\text{O}_{7-x}$ при изменении x термодинамическим способом, т.е. изменение параметров решетки происходило в этом случае уже за счет двух процессов: образования дефектов типа разупорядочения (переход кислорода из позиции O(4) в O(5)) и дополнительно к [17] обра-

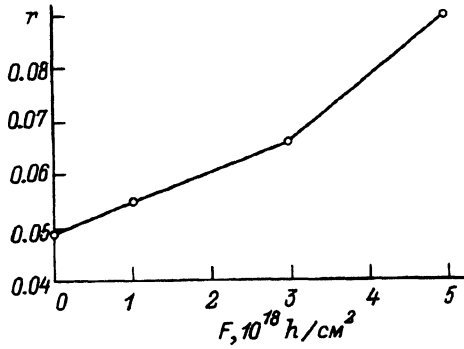


Рис. 1. График зависимости параметра беспорядка r от флюенса нейтронов F (из данных [16]).

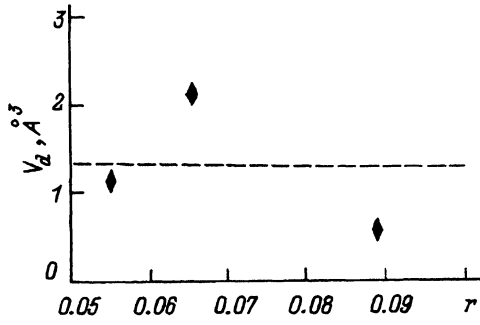


Рис. 2. График зависимости дилатационного объема V_d на один дефект типа разупорядочения (перестановка иона кислорода из O(4) в O(5)) на одну элементарную ячейку от параметра беспорядка r (обработка данных [16]).

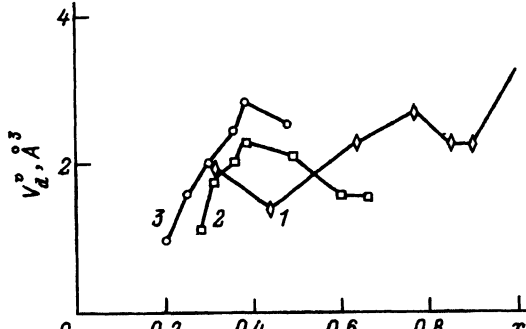


Рис. 3. График зависимости дилатационного объема V_d на одну кислородную вакансию O(4) на одну элементарную ячейку от параметра дефицита кислорода x .

Обработка данных работ: 1 — [16], 2 — [17], 3 — [18].

зования структурных кислородных вакансий. В работах [17,18] приведены данные по заселенности позиций O(4) и O(5), что позволяет выделить вклад в дилатацию структурных кислородных вакансий, используя полученное нами значение дилатации на один дефект типа разупорядочения. Оцененное значение дилатационного объема на одну кислородную вакансию составило $+2\text{ \AA}^3$ или $+15\Omega$ (рис. 3). Приведенная интерпретация результатов экспериментальных данных [16–18] дает оценку величины и знака дилатационного объема как для дефекта типа перестановки, так и для вакансии O(4), которые хорошо согласуются с результатами расчетов, представленных в данной работе (см. таблицу) как по знаку, так и по абсолютной величине.

Таким образом, дилатационный объем кислородной вакансию в $\text{YBa}_2\text{Cu}_3\text{O}_{7-x}$ (положение O(4)) имеет положительный знак и величину порядка нескольких \AA^3 (с учетом изменения зарядового состояния ближайших ионов меди). Абсолютное значение дилатационных объемов основных дефектов в $\text{YBa}_2\text{Cu}_3\text{O}_{7-4}$ почти на порядок выше, чем у дефектов замещения в соединении Nb_3Sn со структурой A_{15} , что, видимо, обуславливает экспериментально регистрируемую большую скорость радиационного распухания этих соединений.

Работа проведена при финансовой поддержке гранта M51000 Международного научного фонда и проекта 93-02-14220 Российского фонда фундаментальных исследований РАН.

Список литературы

- [1] Елесин В.Ф. // ДАН СССР. 1988. Т. 298. № 6.
- [2] Schilling W. // J. Nuclear Materials. 1978. N 69 & 70. P. 465–489.
- [3] Stott M.J. // J. Nuclear Materials. 1978. N 69 & 70. P. 157–175.
- [4] Ибраимов Ш.Ш., Кирсанов В.В., Пятилетов Ю.С. Радиационные повреждения металлов и сплавов. М.: Энергоатомиздат, 1985.
- [5] Taji Y., Yokoto T., Iwata T. // J. Phys. Soc. Jap. 1986. Vol. 55. P. 2676.
- [6] Heggie M.J. // J. Phys. Condence Matter. 1991. Vol. 3. P. 3065.
- [7] Maeta H., Iwata T., Okuda S. // J. Phys. Soc. Jap. 1975. Vol. 39. P. 1558.
- [8] Welch D.O., Dienes G.J., Lazareth O.W. // J. Phys. Chem. Solids. Vol. 45. N 11/12. P. 1225–1242.
- [9] Дегтяренко Н.Н., Мельников В.Л. Радиационные дефекты перспективных сверхпроводящих соединений. М., 1980.
- [10] Baetzold R.C. // Physica C. 1991. Vol. 181. P. 252–260.
- [11] Chen X., Ding C., Wang Yu. et al. // Phys. Stat. Sol. (a). 1990. Vol. 117. P. 335.
- [12] Valkealanti S., Welch D.O. // Physica C. 1989. Vol. 162–164. P. 540–541.
- [13] Chaplot S.L. // Phys. Rev. B. 1990. Vol. 47. N 4. P. 2149–2154.
- [14] Baetzold R.C. // Phys. Rev. B. 1988. Vol. 35. N 7. P. 11304–11309.
- [15] Дегтяренко Н.Н., Елесин В.Ф., Мельников В.Л. // ЖТФ. 1995. Т. 65. Вып. 5. С. 95–105.
- [16] Mirmelstein A., Podlesnyak A., Voronin V. et al. // Phys. C. 1992. Vol. 200. P. 337–343.
- [17] Shaked H., Jorgensen J.D., Hinks D.G. et al. // Phys. C. 1993. Vol. 205. P. 225–239.
- [18] Алексашин Б.А., Воронин В.И. и др. // ЖЭТФ. 1989. Т. 95. Вып. 2: С. 678–697.